

8 - 24 山崎断層沿いの地震（2004年7月12日, Mj=3.9）前後の産総研安富・安富北観測点での地殻歪・地下水位の観測結果

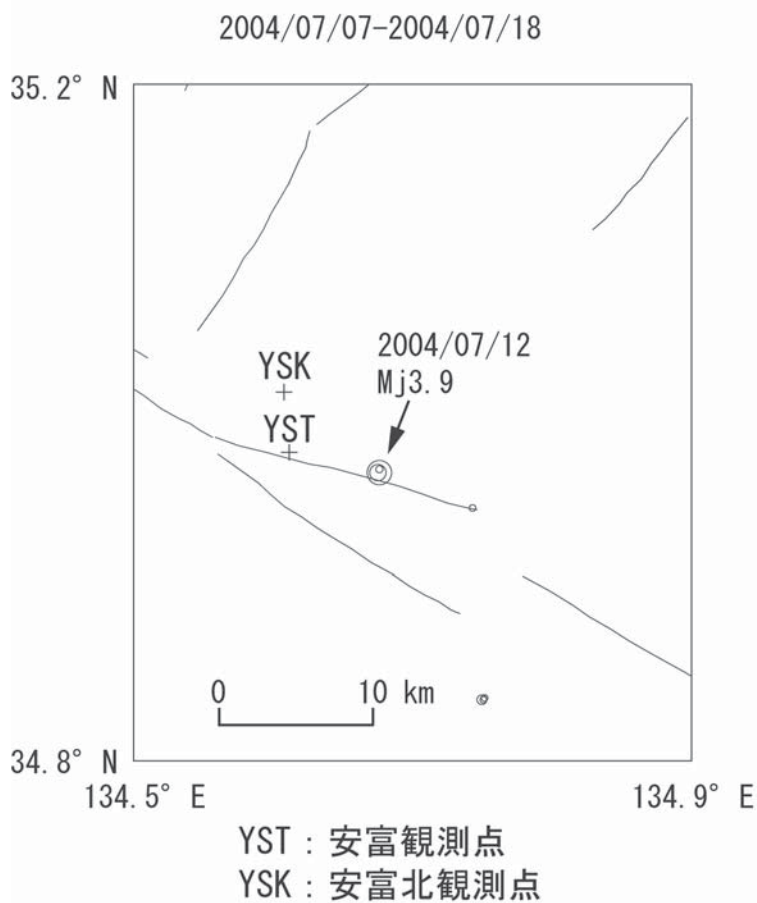
The Variation of Crustal Strain and Groundwater Levels at the Yasutomi and the Yasutomikita Observation Station of AIST relating to the Earthquake along the Yamasaki Fault (July 12, 2004; Mj=3.9).

産業技術総合研究所
Geological Survey of Japan, AIST

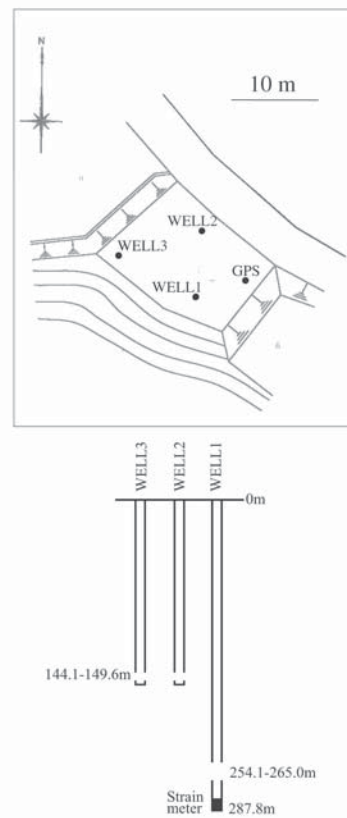
2004年7月12日に山崎断層沿いで地震（Mj3.9）が発生した（第1図）。その前後の期間の産業技術総合研究所安富・安富北観測点（第1図）での地殻歪・地下水位の観測結果を報告する。第2, 3図は安富観測点での地殻歪の観測結果である。地震時に小さなステップを観測した。その前後は特に変化は見られない。第4, 5図は安富観測点と安富北観測点での地下水位の観測結果である。安富観測点孔2には、地震直後に地下水位が上昇する変化が見られる。その他には明瞭な変化は見られない。

（北川有一・小泉尚嗣）

地震の震央と安富・安富北観測点の位置



安富観測点の観測井



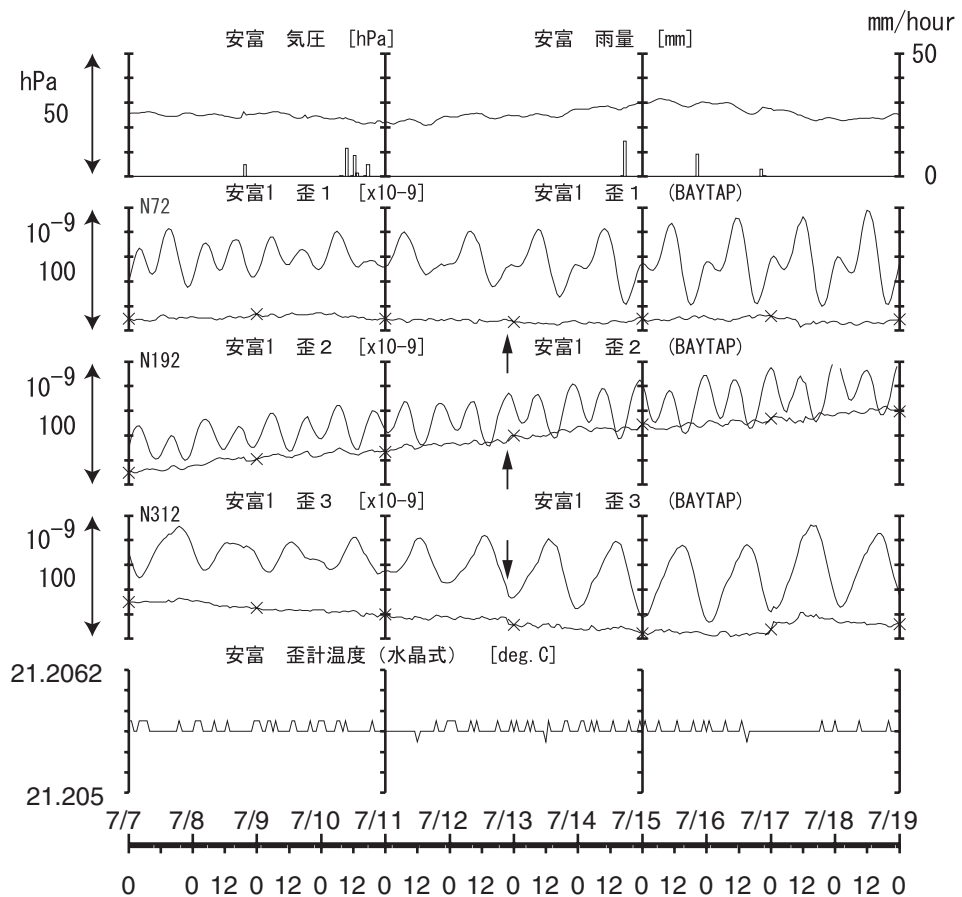
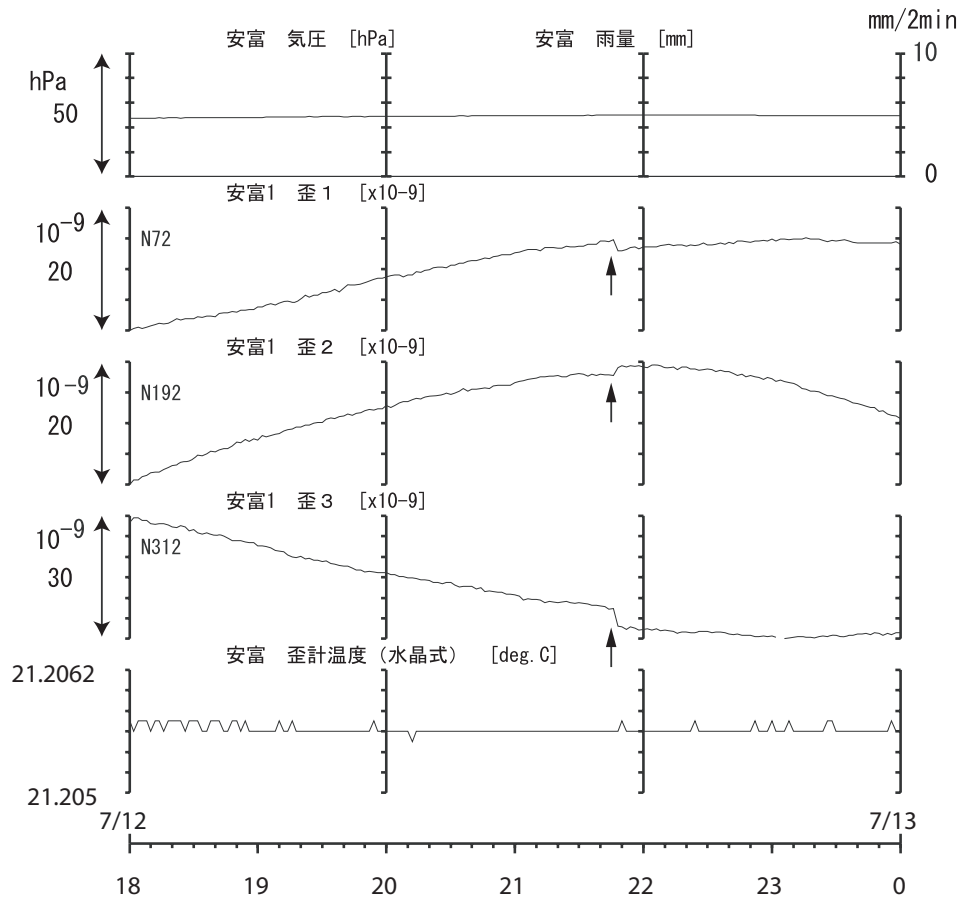
安富北観測点の観測井



第 1 図 地震の震央と安富・安富北観測点の位置及び安富・安富北観測点の観測井の概要
Fig.1 Location of the epicenter of the earthquake and the Yasutomi and the Yasutomikita observation stations and outline of the Yasutomi and the Yasutomikita observation wells.

安富 歪 (2分値)
(2004/07/12 18:00 - 2004/07/13 00:00)

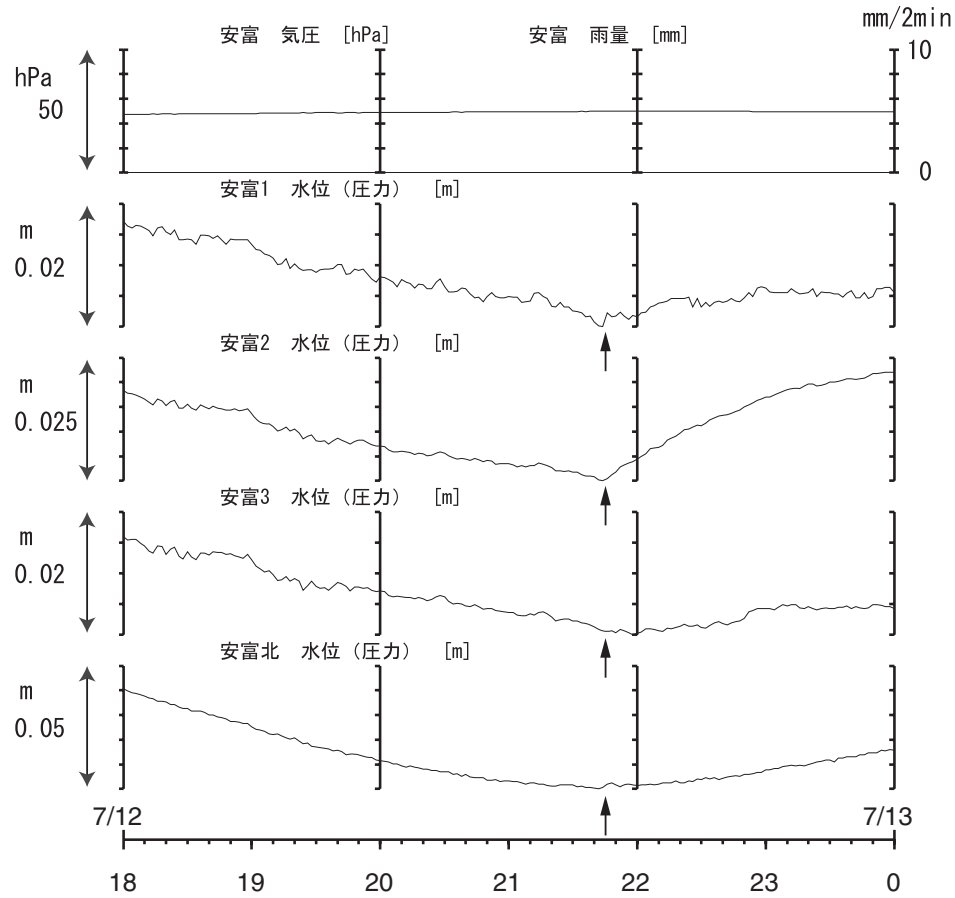
安富 歪 (時間値)
(2004/07/07 00:00 - 2004/07/19 00:00)



第2図 安富における歪等の観測結果(2004年7月12日)
Fig.2 Observed strain and others at the Yasutomi observation well in Jul. 12, 2004.

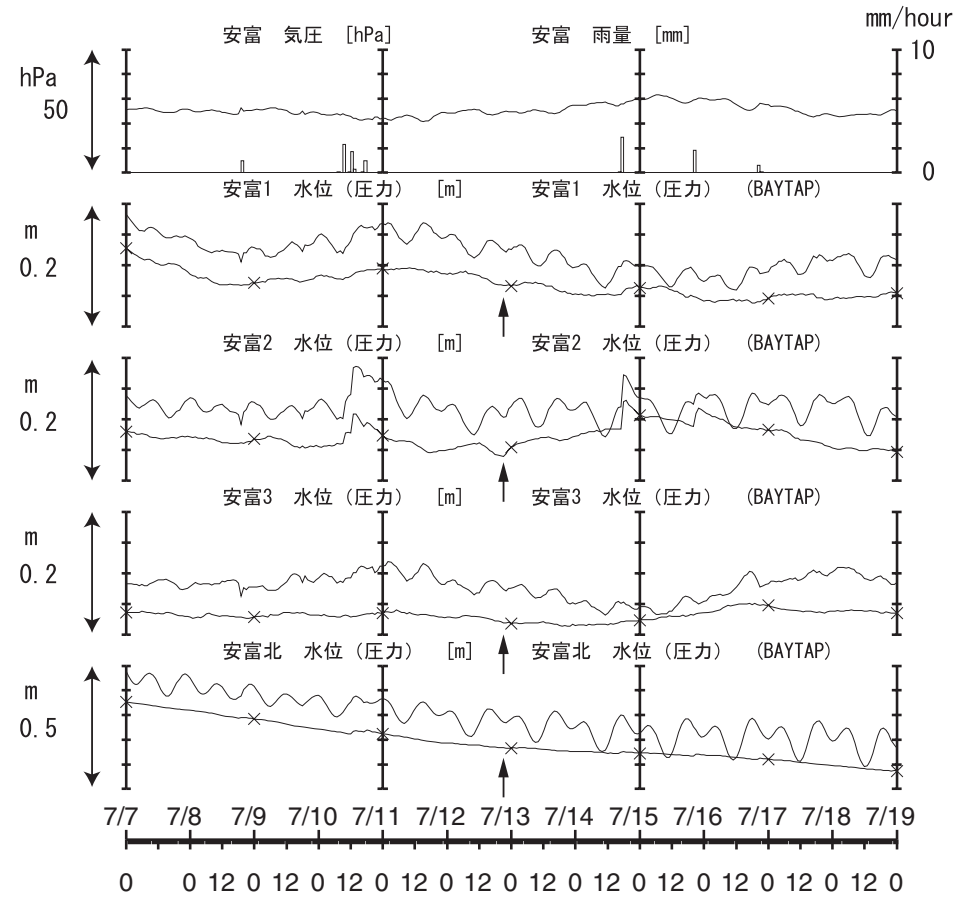
第3図 安富における歪等の観測結果(2004年7月7日~2004年7月18日)
Fig.3 Observed strain and others at the Yasutomi observation well from Jul. 7, 2004 to Jul. 18, 2004.

安富・安富北 水位 (2分値)
(2004/07/12 18:00 - 2004/07/13 00:00)



第4図 安富・安富北における地下水等の観測結果(2004年7月12日)
Fig.4 Observed groundwater levels and others at the Yasutomi and the Yasutomikita observation wells in Jul. 12, 2004.

安富・安富北 水位 (時間値)
(2004/07/07 00:00 - 2004/07/19 00:00)



第5図 安富・安富北における地下水等の観測結果
(2004年7月7日~2004年7月18日)
Fig.5 Observed groundwater levels and others at the Yasutomi and the Yasutomikita observation wells from Jul. 7, 2004 to Jul. 18, 2004.